

Starkniederschlagshöhen und -spenden gemäß KOSTRA-DWD-2020

Rasterfeld 119089

(Zeile 119, Spalte 89)

Regenspende und Bemessungsniederschlagswerte in Abhängigkeit von Wiederkehrzeit T und Dauerstufe D

| Dauerstufe D | | Wiederkehrzeit T | | | | | | | | | | | | | | | | | |
|--------------|-----|------------------|------------|------|------------|------|------------|------|------------|------|------------|-------|------------|-------|------------|-------|------------|-------|------------|
| | | 1 a | | 2 a | | 3 a | | 5 a | | 10 a | | 20 a | | 30 a | | 50 a | | 100 a | |
| min | Std | mm | l / (s ha) | mm | l / (s ha) | mm | l / (s ha) | mm | l / (s ha) | mm | l / (s ha) | mm | l / (s ha) | mm | l / (s ha) | mm | l / (s ha) | mm | l / (s ha) |
| 5 | | 5,7 | 190,0 | 7,0 | 233,3 | 7,7 | 256,7 | 8,8 | 293,3 | 10,2 | 340,0 | 11,8 | 393,3 | 12,8 | 426,7 | 14,1 | 470,0 | 15,9 | 530,0 |
| 10 | | 7,8 | 130,0 | 9,6 | 160,0 | 10,7 | 178,3 | 12,1 | 201,7 | 14,1 | 235,0 | 16,2 | 270,0 | 17,6 | 293,3 | 19,4 | 323,3 | 22,0 | 366,7 |
| 15 | | 9,2 | 102,2 | 11,2 | 124,4 | 12,5 | 138,9 | 14,1 | 156,7 | 16,5 | 183,3 | 18,9 | 210,0 | 20,6 | 228,9 | 22,7 | 252,2 | 25,7 | 285,6 |
| 20 | | 10,1 | 84,2 | 12,4 | 103,3 | 13,8 | 115,0 | 15,6 | 130,0 | 18,2 | 151,7 | 20,9 | 174,2 | 22,7 | 189,2 | 25,0 | 208,3 | 28,4 | 236,7 |
| 30 | | 11,5 | 63,9 | 14,1 | 78,3 | 15,6 | 86,7 | 17,7 | 98,3 | 20,7 | 115,0 | 23,8 | 132,2 | 25,8 | 143,3 | 28,5 | 158,3 | 32,3 | 179,4 |
| 45 | | 13,0 | 48,1 | 15,8 | 58,5 | 17,6 | 65,2 | 20,0 | 74,1 | 23,3 | 86,3 | 26,8 | 99,3 | 29,1 | 107,8 | 32,1 | 118,9 | 36,3 | 134,4 |
| 60 | 1 | 14,0 | 38,9 | 17,1 | 47,5 | 19,1 | 53,1 | 21,6 | 60,0 | 25,3 | 70,3 | 29,0 | 80,6 | 31,5 | 87,5 | 34,7 | 96,4 | 39,3 | 109,2 |
| 90 | 1,5 | 15,6 | 28,9 | 19,1 | 35,4 | 21,2 | 39,3 | 24,1 | 44,6 | 28,1 | 52,0 | 32,3 | 59,8 | 35,1 | 65,0 | 38,6 | 71,5 | 43,8 | 81,1 |
| 120 | 2 | 16,8 | 23,3 | 20,6 | 28,6 | 22,9 | 31,8 | 25,9 | 36,0 | 30,3 | 42,1 | 34,8 | 48,3 | 37,7 | 52,4 | 41,6 | 57,8 | 47,1 | 65,4 |
| 180 | 3 | 18,6 | 17,2 | 22,7 | 21,0 | 25,3 | 23,4 | 28,7 | 26,6 | 33,5 | 31,0 | 38,5 | 35,6 | 41,8 | 38,7 | 46,0 | 42,6 | 52,2 | 48,3 |
| 240 | 4 | 20,0 | 13,9 | 24,4 | 16,9 | 27,2 | 18,9 | 30,8 | 21,4 | 36,0 | 25,0 | 41,3 | 28,7 | 44,8 | 31,1 | 49,4 | 34,3 | 56,0 | 38,9 |
| 360 | 6 | 22,0 | 10,2 | 26,9 | 12,5 | 30,0 | 13,9 | 33,9 | 15,7 | 39,7 | 18,4 | 45,6 | 21,1 | 49,4 | 22,9 | 54,5 | 25,2 | 61,8 | 28,6 |
| 540 | 9 | 24,3 | 7,5 | 29,7 | 9,2 | 33,0 | 10,2 | 37,4 | 11,5 | 43,7 | 13,5 | 50,2 | 15,5 | 54,5 | 16,8 | 60,1 | 18,5 | 68,1 | 21,0 |
| 720 | 12 | 26,0 | 6,0 | 31,8 | 7,4 | 35,4 | 8,2 | 40,1 | 9,3 | 46,8 | 10,8 | 53,8 | 12,5 | 58,4 | 13,5 | 64,3 | 14,9 | 72,9 | 16,9 |
| 1080 | 18 | 28,6 | 4,4 | 35,0 | 5,4 | 38,9 | 6,0 | 44,1 | 6,8 | 51,6 | 8,0 | 59,2 | 9,1 | 64,3 | 9,9 | 70,8 | 10,9 | 80,3 | 12,4 |
| 1440 | 24 | 30,7 | 3,6 | 37,5 | 4,3 | 41,7 | 4,8 | 47,2 | 5,5 | 55,2 | 6,4 | 63,4 | 7,3 | 68,8 | 8,0 | 75,8 | 8,8 | 85,9 | 9,9 |
| 2880 | 48 | 36,1 | 2,1 | 44,1 | 2,6 | 49,1 | 2,8 | 55,6 | 3,2 | 65,0 | 3,8 | 74,7 | 4,3 | 81,0 | 4,7 | 89,3 | 5,2 | 101,2 | 5,9 |
| 4320 | 72 | 39,7 | 1,5 | 48,5 | 1,9 | 54,0 | 2,1 | 61,2 | 2,4 | 71,5 | 2,8 | 82,2 | 3,2 | 89,1 | 3,4 | 98,3 | 3,8 | 111,4 | 4,3 |
| 5760 | 96 | 42,5 | 1,2 | 51,9 | 1,5 | 57,8 | 1,7 | 65,5 | 1,9 | 76,5 | 2,2 | 87,9 | 2,5 | 95,4 | 2,8 | 105,1 | 3,0 | 119,2 | 3,4 |
| 7200 | 120 | 44,8 | 1,0 | 54,7 | 1,3 | 60,9 | 1,4 | 69,0 | 1,6 | 80,6 | 1,9 | 92,6 | 2,1 | 100,5 | 2,3 | 110,8 | 2,6 | 125,6 | 2,9 |
| 8640 | 144 | 46,8 | 0,9 | 57,1 | 1,1 | 63,6 | 1,2 | 72,0 | 1,4 | 84,2 | 1,6 | 96,7 | 1,9 | 104,9 | 2,0 | 115,7 | 2,2 | 131,1 | 2,5 |
| 10080 | 168 | 48,5 | 0,8 | 59,2 | 1,0 | 65,9 | 1,1 | 74,7 | 1,2 | 87,3 | 1,4 | 100,3 | 1,7 | 108,8 | 1,8 | 119,9 | 2,0 | 135,9 | 2,2 |

Starkniederschlagshöhen und -spenden gemäß KOSTRA-DWD-2020

Rasterfeld 119089

(Zeile 119, Spalte 89)

Örtliche Unsicherheiten in Abhängigkeit von Wiederkehrzeit T und Dauerstufe D

| Dauerstufe D | | Wiederkehrzeit T | | | | | | | | |
|--------------|-----|------------------|-----|-----|-----|------|------|------|------|-------|
| | | 1 a | 2 a | 3 a | 5 a | 10 a | 20 a | 30 a | 50 a | 100 a |
| min | Std | ± % | ± % | ± % | ± % | ± % | ± % | ± % | ± % | ± % |
| 5 | | 13 | 14 | 14 | 15 | 15 | 16 | 16 | 17 | 17 |
| 10 | | 13 | 15 | 16 | 17 | 18 | 19 | 19 | 20 | 20 |
| 15 | | 15 | 17 | 18 | 19 | 20 | 21 | 21 | 22 | 23 |
| 20 | | 16 | 18 | 19 | 20 | 21 | 22 | 23 | 23 | 24 |
| 30 | | 16 | 19 | 20 | 21 | 22 | 23 | 24 | 24 | 25 |
| 45 | | 17 | 19 | 20 | 21 | 23 | 24 | 24 | 25 | 25 |
| 60 | 1 | 16 | 19 | 20 | 21 | 22 | 23 | 24 | 25 | 25 |
| 90 | 1,5 | 16 | 18 | 19 | 20 | 22 | 23 | 23 | 24 | 25 |
| 120 | 2 | 15 | 17 | 19 | 20 | 21 | 22 | 23 | 23 | 24 |
| 180 | 3 | 14 | 16 | 18 | 19 | 20 | 21 | 22 | 22 | 23 |
| 240 | 4 | 14 | 16 | 17 | 18 | 19 | 20 | 21 | 21 | 22 |
| 360 | 6 | 13 | 15 | 16 | 17 | 18 | 19 | 19 | 20 | 21 |
| 540 | 9 | 13 | 14 | 15 | 16 | 17 | 18 | 18 | 19 | 19 |
| 720 | 12 | 13 | 14 | 14 | 15 | 16 | 17 | 18 | 18 | 19 |
| 1080 | 18 | 13 | 14 | 14 | 15 | 16 | 16 | 17 | 17 | 18 |
| 1440 | 24 | 14 | 14 | 14 | 15 | 16 | 16 | 17 | 17 | 17 |
| 2880 | 48 | 16 | 16 | 16 | 16 | 16 | 17 | 17 | 17 | 17 |
| 4320 | 72 | 18 | 17 | 17 | 17 | 17 | 17 | 18 | 18 | 18 |
| 5760 | 96 | 19 | 18 | 18 | 18 | 18 | 18 | 18 | 18 | 18 |
| 7200 | 120 | 20 | 19 | 19 | 19 | 19 | 19 | 19 | 19 | 19 |
| 8640 | 144 | 21 | 20 | 20 | 20 | 20 | 19 | 19 | 20 | 20 |
| 10080 | 168 | 22 | 21 | 21 | 20 | 20 | 20 | 20 | 20 | 20 |

Parameter für abweichende T und D

Lokationsparameter ξ (Xi)

14,57149171

Skalenparameter α (Alpha)

4,49324478

Formparameter κ (Kappa)

-0,1

1. Koutsoyiannis-Parameter θ (Theta)

0,04940845

2. Koutsoyiannis-Parameter η (Eta)

0,76519079

Parameter für dauerstufenübergreifende Extremwertschätzung nach KOUTSOYIANNIS et al. 1998.

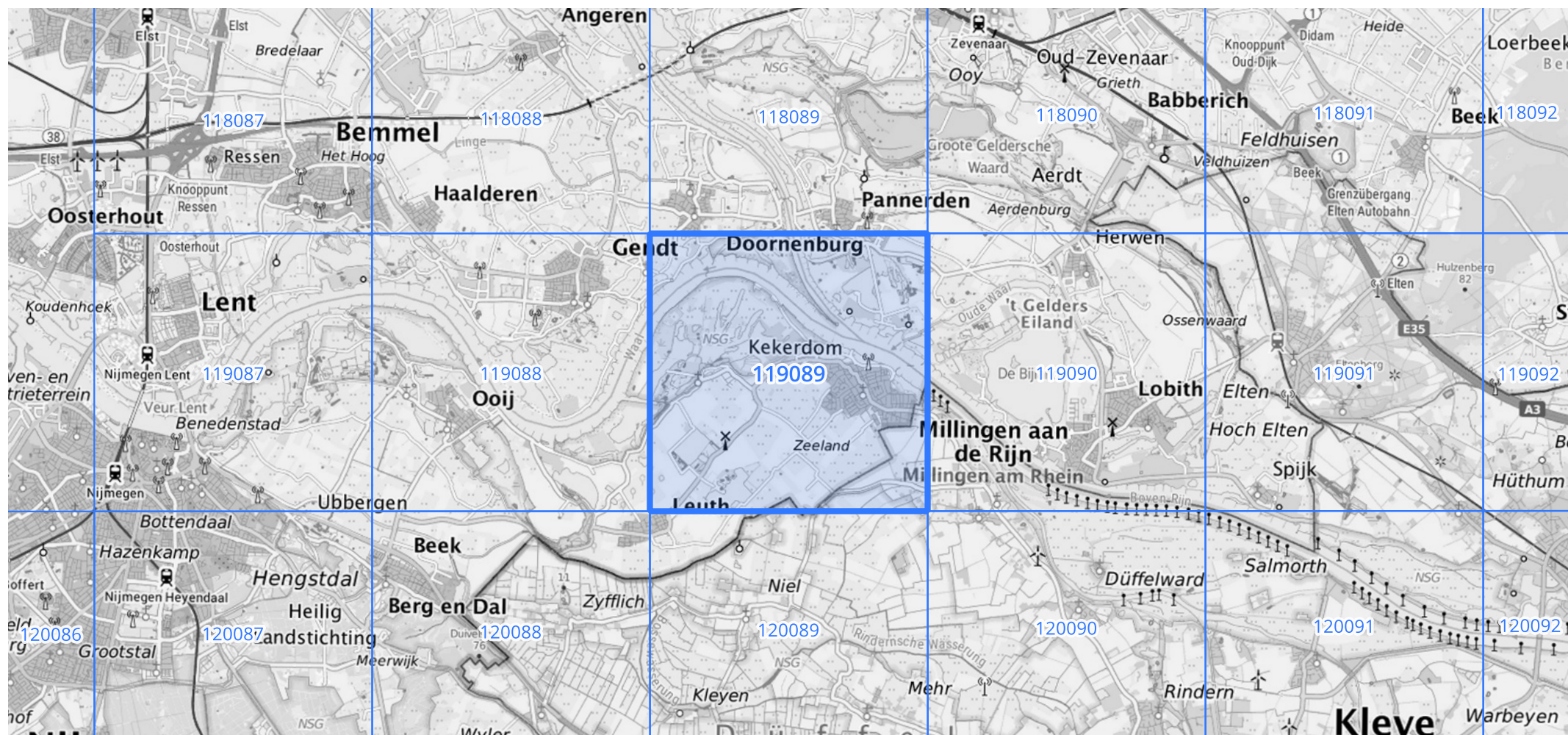
Siehe auch Anwendungshilfe zu KOSTRA-DWD-2020 des Deutschen Wetterdienstes.

Starkniederschlagshöhen und -spenden gemäß KOSTRA-DWD-2020

Rasterfeld 119089

(Zeile 119, Spalte 89)

Übersichtskarte des Rasterfeldes 119089, M 1 : 100 000



Quelle Rasterdaten: KOSTRA-DWD-2020 des Deutschen Wetterdienstes, Stand 12/2022.

Seite 3 von 3

Kartendarstellung: © Bundesamt für Kartographie und Geodäsie (2023), Datenquellen: https://sgx.geodatenzentrum.de/web_public/gdz/datenquellen/Datenquellen_TopPlusOpen.html

Für die Richtigkeit und Aktualität der Angaben wird keine Gewähr übernommen. Erstellt 01/2023.